

UNIVERSIDAD DE CÓRDOBA

Facultad de Ciencias

Grado de Física

Trabajo Fin de Grado

Oscilaciones Bariónicas Acústicas en Universos con Curvatura

Código del TFG: **FS22-17-FSC**

Tipo de TFG: **Trabajo teórico-práctico general**

Autor: Santiago Sanz Wuhl



Fecha de entrega

Agradecimientos

Incluir los agradecimientos, si procede.

Contents

Índice general	2
Índice de figures	3
Índice de tablas	4
Resumen. Palabras clave	5
Abstract. Keywords	6
1 Introduction	7
1.1 The Hot Big Bang model	7
1.2 Cosmic Microwave Background	8
1.3 Oscilaciones Acústicas de Bariones.	10
1.4 El Fondo Cósmico de Microondas.	10
1.5 La estructura a gran escala del universo.	10
1.6 La escala BAO como regla estándar.	10
2 Resultados	11
2.1 Cálculo de observables	11
Conclusiones	13
Conclusions	14
Anexo: Ejemplo para introducir código Matlab	17
Anexo: Ejemplo para introducir código ISE	18

Índice de figures

1.1	The CMB as seen by Space-based Observatory Planck[2]	8
2.1	Cálculo de los observables cosmológicos para diferentes cosmologías	12

List of Tables

Resumen

Escriba aquí un resumen de la memoria en castellano que contenga entre 100 y 300 palabras. Las palabras clave serán entre 3 y 6.

Palabras clave: palabra clave 1; palabra clave 2; palabra clave 3; palabra clave 4

Abstract

Insert here the abstract of the report with an extension between 100 and 300 words.

Keywords: keyword1; keyword2; keyword3; keyword4

CHAPTER 1

Introduction

1.1. THE HOT BIG BANG MODEL

The most accepted model for the origin of the universe is the Big Bang model, which surprisingly conveys no "bang", but the sudden existence of all the matter in the universe, in the shortest of times, in the smallest of spaces known as the singularity which happened about 13.8 billion years ago. After an unthinkable small interval of time, the universe began a short period of rapid expansion known as *cosmic inflation*, in which the universe grew by a factor 10^{27} in a mere 10^{-33} seconds. This inflation is thought to be due to the inflaton, a quantum scalar field theory

After this inflation phase, the universe cooled enough for what is known as the Quark-Gluon plasma to form. In this state, temperatures were high enough as to consider relativistic the random motion of the particles in it. Now with the temperatures low enough, the combination between quarks to form hadrons was allowed, leading to what is known as the hadronic epoch. However, due to the short mean free path of the photons the universe is still opaque to electromagnetic radiation.

As the universe kept expanding the densities and the temperatures cooled, the existence of atoms was starting to be allowed, as the He^+ and H atoms. This period would finish at the universe age of 380,000 years, moment known as recombination. Though the name 'recombination' implies the fact that the universe used to be 'combined' and then ceased to be so, it just comes from the fact that recombination was theorized before the Big Bang theory was thought of.

As soon as recombination ends, the excited electrons which are now orbiting neutral atoms, fall to a lower energy state, thus emitting photons in great densities. This emission is known as the Cosmic Microwave Background (CMB) and is the oldest direct measurement we can take of the universe.

1.2. COSMIC MICROWAVE BACKGROUND

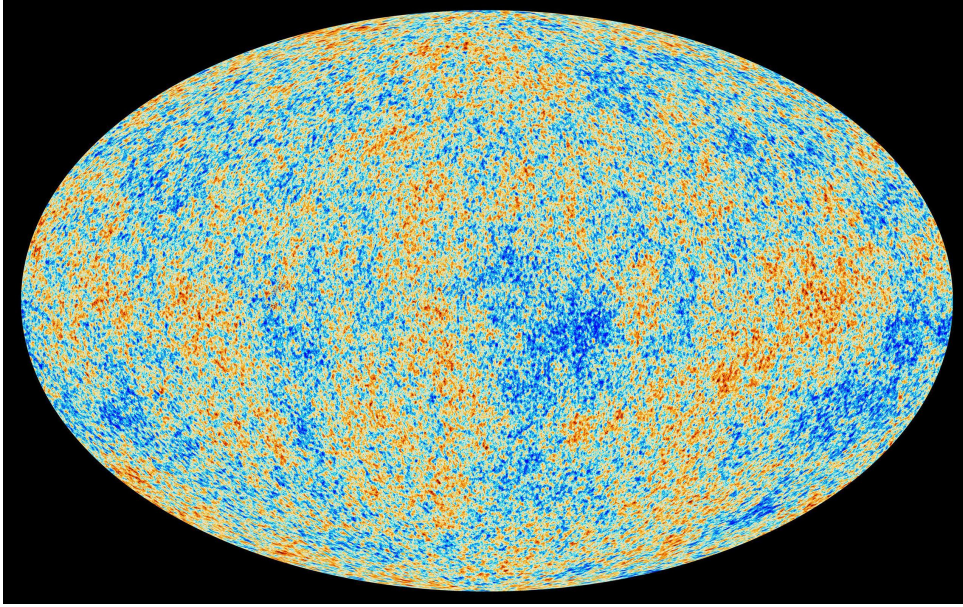


Figura 1.1: The CMB as seen by Space-based Observatory Planck[2]

We see in the figure 1.1 the CMB radiation as observed by the Planck colaboration [2].

El concepto de expansión del universo aparece cuando Erwin Hubble observa que las mediciones de la longitud de onda de radiación de las galaxias alrededor nuestra estaban todas desplazadas hacia el rojo. Es decir, estaban dilatadas. Esto indica que debido a la expansión del universo la longitud de onda de la radiación observada se habrá dilatado. Introducimos así la Ley de Hubble

$$v = H_0 d \quad (1.1)$$

Que nos relaciona la velocidad de expansión de un punto separado una distancia d del observador, a través de la constante de Hubble $H_0 = 100h \frac{km}{s \cdot Mpc}$, siendo h un factor que permite parametrizar nuestro desconocimiento sobre H_0 . H_0 representa realmente el valor actual de $H(t)$, así como cualquier observable cosmológico A_0 representa el valor actual de $A(t)$.

Introducimos así el concepto *redshift* como variable temporal.

$$z = \frac{\lambda_{\text{observado}} - \lambda_{\text{emitido}}}{\lambda_{\text{emitido}}} \quad (1.2)$$

La luz necesita tiempo para llegar a su destino, y durante ese tiempo el universo se habrá expandido cierta cantidad. Esa cantidad desplaza la radiación hacia el rojo dándonos una idea de cuánto tiempo ha estado la onda viajando, es decir cuál es la edad del objeto que estamos observando.

La expansión del universo viene parametrizada por un factor de escala $a(t)$, de tal forma que si en cierto momento medimos una distancia $a(t_0)\Delta x$, pasado un cierto tiempo

Δt la nueva medida de esa misma distancia resultará en $a(t_0 + \Delta t)\Delta x$ ¹

Es decir, que si consiguiésemos averiguar la expresión de $a(t)$, podríamos determinar la historia del universo. Alexander Friedmann desarrolló en 1922 las ecuaciones de Friedmann en las que define formalmente el ya mencionado parámetro de Hubble $H(t)$

$$H^2(t) := \left(\frac{\dot{a}}{a}\right)^2 = \frac{8\pi G\rho}{3} + \frac{\Lambda c^2}{3} - K\frac{c^2}{a^2} \quad (1.4)$$

$$3\frac{\ddot{a}}{a} = \Lambda c^2 - 4\pi G\left(\rho + \frac{3p}{c^2}\right) \quad (1.5)$$

Siendo G la constante universal de gravitación, ρ la densidad de materia del universo, Λ la constante cosmológica, K la curvatura Gaussiana del universo y p la presión del universo.

Se puede expresar la ecuación (1.4) de una forma más legible, definiendo los parámetros

$$\Omega_m = \frac{8\pi G\rho}{3H^2}, \Omega_\Lambda = \frac{\Lambda c^2}{3H^2}, \Omega_K = -K\frac{c^2}{H^2 a^2} \quad (1.6)$$

Conocidos como los parámetros de densidad, de vacío y de curvatura. Los dos primeros son los que contienen la información de la densidad de los fotones, neutrinos, bariones, materia oscura y energía oscura.

Reescribimos así la ecuación (1.4)

$$1 = \Omega_m + \Omega_\Lambda + \Omega_K \quad (1.7)$$

Que es la ecuación que cumplirá cualquier universo que estudiemos, entendiendo por universo o cosmología los diferentes valores que se le den a los parámetros Ω

Con estos conceptos podemos relacionar el *redshift* con el factor $a(t)$

$$1 + z = 1 + \frac{\lambda_o - \lambda_e}{\lambda_e} = \frac{a(t_o)}{a(t_e)} \quad (1.8)$$

La ecuación (1.8) nos permite relacionar el factor de escala actual con el que había en el universo en el momento de emisión de la radiación observada, en función del *redshift* que observemos.

Otra relación importante será también la que nos permite calcular el parámetro de Hubble en función de la cosmología que escojamos

$$H(z) = H_0 \sqrt{\Omega_m(1+z)^3 + \Omega_K(1+z)^2 + \Omega_\Lambda} \quad (1.9)$$

A través de la constante de Hubble calculamos también la distancia de Hubble

$$D_H = \frac{c}{H(z)} \quad (1.10)$$

Que actualmente toma un valor de $D_H = 3000h^{-1}\text{Mpc}$. La distancia de Hubble se define como la distancia a partir de la cual la velocidad de expansión del universo relativa al observador es mayor a la velocidad de la luz²

Aquí explico los parámetros que afectan a la expansión del universo y por tanto al *redshift* y por tanto a las medidas que tomamos.

¹Más precisamente, $a(t)$ aparece en la métrica de Friedman-Lemaître-Robertson-Walker (FLRW)

$$ds^2 = -dt^2 + a^2(t) \left(\frac{dr^2}{1 - kr^2} + r^2 d\theta^2 + r^2 \sin^2 \theta d\phi^2 \right) \quad (1.3)$$

²Si sustituimos $v = c$ en (1.1), sustituimos $v = c$ y despejamos la D correspondiente queda exactamente la expresión de D_H

1.3. OSCILACIONES ACÚSTICAS DE BARIONES.

Las concentraciones de materia implicaban unas intensas interacciones que al equilibrarse con la presión de radiación, daban lugar a la propagación de ondas acústica de manera isótropa por el mencionado plasma, que se propagaban a una velocidad usualmente aproximada según $v = \frac{c}{\sqrt{3}}$.

1.4. EL FONDO CÓSMICO DE MICROONDAS.

1.5. LA ESTRUCTURA A GRAN ESCALA DEL UNIVERSO.

1.6. LA ESCALA BAO COMO REGLA ESTÁNDAR.

CHAPTER 2

Resultados

2.1. CÁLCULO DE OBSERVABLES

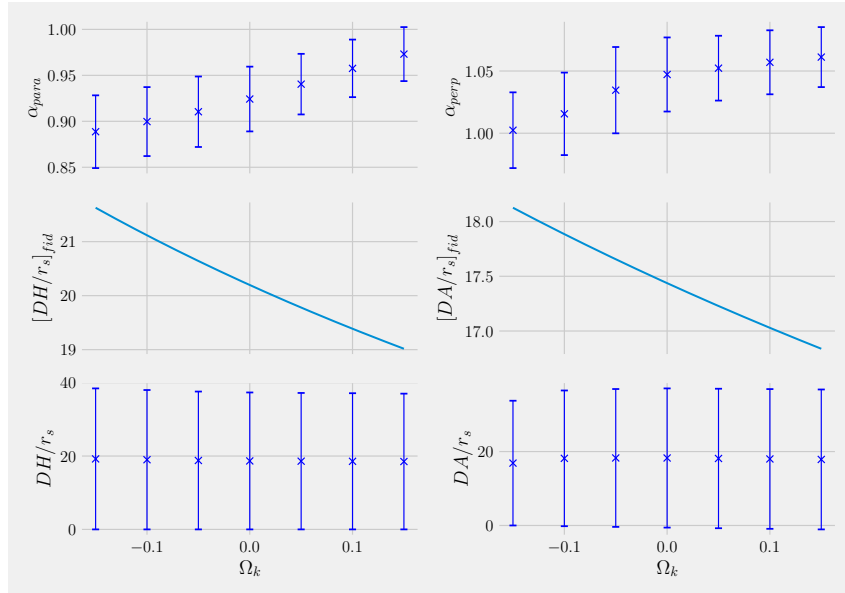


Figura 2.1: Cálculo de los observables cosmológicos para diferentes cosmologías

Conclusiones

En este trabajo ...

Conclusions

In this work ...

Bibliography

- [1] Daniel Baumann. *Cosmology*. Cambridge University Press, jun 2022.
- [2] Planck Collaboration, N. Aghanim, Y. Akrami, M. Ashdown, J. Aumont, C. Baccigalupi, M. Ballardini, A. J. Banday, R. B. Barreiro, N. Bartolo, S. Basak, R. Battye, K. Benabed, J. P. Bernard, M. Bersanelli, P. Bielewicz, J. J. Bock, J. R. Bond, J. Borrill, F. R. Bouchet, F. Boulanger, M. Bucher, C. Burigana, R. C. Butler, E. Calabrese, J. F. Cardoso, J. Carron, A. Challinor, H. C. Chiang, J. Chluba, L. P. L. Colombo, C. Combet, D. Contreras, B. P. Crill, F. Cuttaia, P. de Bernardis, G. de Zotti, J. Delabrouille, J. M. Delouis, E. Di Valentino, J. M. Diego, O. Doré, M. Douspis, A. Ducout, X. Dupac, S. Dusini, G. Efstathiou, F. Elsner, T. A. Enßlin, H. K. Eriksen, Y. Fantaye, M. Farhang, J. Fergusson, R. Fernandez-Cobos, F. Finelli, F. Forastieri, M. Frailis, A. A. Fraisse, E. Franceschi, A. Frolov, S. Galeotta, S. Galli, K. Ganga, R. T. Génova-Santos, M. Gerbino, T. Ghosh, J. González-Nuevo, K. M. Górski, S. Gratton, A. Gruppuso, J. E. Gudmundsson, J. Hamann, W. Handley, F. K. Hansen, D. Herranz, S. R. Hildebrandt, E. Hivon, Z. Huang, A. H. Jaffe, W. C. Jones, A. Karakci, E. Keihänen, R. Keskitalo, K. Kiiveri, J. Kim, T. S. Kisner, L. Knox, N. Krachmalnicoff, M. Kunz, H. Kurki-Suonio, G. Lagache, J. M. Lamarre, A. Lasenby, M. Lattanzi, C. R. Lawrence, M. Le Jeune, P. Lemos, J. Lesgourgues, F. Levrier, A. Lewis, M. Liguori, P. B. Lilje, M. Lilley, V. Lindholm, M. López-Caniego, P. M. Lubin, Y. Z. Ma, J. F. Macías-Pérez, G. Maggio, D. Maino, N. Mandolesi, A. Mangilli, A. Marcos-Caballero, M. Maris, P. G. Martin, M. Martinelli, E. Martínez-González, S. Matarrese, N. Mauri, J. D. McEwen, P. R. Meinhold, A. Melchiorri, A. Mennella, M. Migliaccio, M. Millea, S. Mitra, M. A. Miville-Deschênes, D. Molinari, L. Montier, G. Morgante, A. Moss, P. Natoli, H. U. Nørgaard-Nielsen, L. Pagano, D. Paoletti, B. Partridge, G. Patanchon, H. V. Peiris, F. Perrotta, V. Pettorino, F. Piacentini, L. Polastri, G. Polenta, J. L. Puget, J. P. Rachen, M. Reinecke, M. Remazeilles, A. Renzi, G. Rocha, C. Rosset, G. Roudier, J. A. Rubiño-Martín, B. Ruiz-Granados, L. Salvati, M. Sandri, M. Savelainen, D. Scott, E. P. S. Shellard, C. Sirignano, G. Sirri, L. D. Spencer, R. Sunyaev, A. S. Suur-Uski, J. A. Tauber, D. Tavagnacco, M. Tenti, L. Toffolatti, M. Tomasi, T. Trombetti, L. Valenziano, J. Valiviita, B. Van Tent, L. Vibert, P. Vielva, F. Villa, N. Vittorio, B. D. Wandelt, I. K. Wehus, M. White, S. D. M. White, A. Zacchei, and A. Zonca. Planck 2018 results. vi. cosmological parameters.
- [3] D. J. Eisenstein, I. Zehavi, D. W. Hogg, R. Scoccimarro, M. R. Blanton, R. C. Nichol, R. Scranton, H. Seo, M. Tegmark, Z. Zheng, S. Anderson, J. Annis, N. Bahcall, J. Brinkmann, S. Burles, F. J. Castander, A. Connolly, I. Csabai, M. Doi, M. Fukugita, J. A. Frieman, K. Glazebrook, J. E. Gunn, J. S. Hendry, G. Hennessy, Z. Ivezic, S. Kent, G. R. Knapp, H. Lin, Y. Loh, R. H. Lupton, B. Margon, T. McKay,

A. Meiksin, J. A. Munn, A. Pope, M. Richmond, D. Schlegel, D. Schneider, K. Shimasaku, C. Stoughton, M. Strauss, M. SubbaRao, A. S. Szalay, I. Szapudi, D. Tucker, B. Yanny, and D. York. Detection of the baryon acoustic peak in the large-scale correlation function of sdss luminous red galaxies.

[4] Daniel J Eisenstein, Wayne Hu, Joseph Silk, and Alexander S Szalay. Can baryonic features produce the observed 100 h- 1 mpc clustering? *The Astrophysical Journal*, 494(1):L1, 1998.

[5] Daniel J. Eisenstein, Wayne Hu, and Max Tegmark. Cosmic complementarity: H_0 and ω_m from combining cmb experiments and redshift surveys.

[6] Daniel J. Eisenstein, Hee jong Seo, Edwin Sirko, and David Spergel. Improving cosmological distance measurements by reconstruction of the baryon acoustic peak.

[7] David W. Hogg. Distance measures in cosmology.

Anexo: Ejemplo para introducir código Matlab

```
1 %% 3-D Plots
2 % Three-dimensional plots typically display a surface
3 % defined by a function in two variables,  $z = f(x,y)$  .
4 %%
5 % To evaluate  $z$ , first create a set of  $(x,y)$  points
6 % over the domain of the function using meshgrid.
7     [X,Y] = meshgrid(-2:.2:2);
8     Z = X .* exp(-X.^2 - Y.^2);
9 %%
10 % Then, create a surface plot.
11     surf(X,Y,Z)
12 %%
13 % Both the surf function and its companion mesh display
14 % surfaces in three dimensions. surf displays both the
15 % connecting lines and the faces of the surface in color.
16 % Mesh produces wireframe surfaces that color only the
17 %lines connecting the defining points.
```

Anexo: Ejemplo para introducir código ISE

```
1 library IEEE;
2     use IEEE.STD_LOGIC_1164.ALL;
3     use IEEE.STD_LOGIC_ARITH.ALL;
4     use IEEE.STD_LOGIC_UNSIGNED.ALL;
5 -- Uncomment the following library declaration if
6 -- instantiating any Xilinx primitive in this code.
7 -- library UNISIM;
8 -- use UNISIM.VComponents.all;
9
10 entity counter is
11     Port ( CLOCK : in  STD_LOGIC;
12           DIRECTION : in  STD_LOGIC;
13           COUNT_OUT : out STD_LOGIC_VECTOR (3 downto 0));
14 end counter;
15
16 architecture Behavioral of counter is
17 signal count_int : std_logic_vector(3 downto 0) := "0000";
18 begin
19 process (CLOCK)
20 begin
21     if CLOCK='1' and CLOCK'event then
22         if DIRECTION='1' then
23             count_int <= count_int + 1;
24         else
25             count_int <= count_int - 1;
26         end if;
27     end if;
28 end process;
29 COUNT_OUT <= count_int;
30 end Behavioral;
```